

УДК 547.781 + 547.785.5

ПРОТИВОТУБЕРКУЛЕЗНЫЕ СВОЙСТВА ПРОИЗВОДНЫХ ИМИДАЗОЛА И БЕНЗИМИДАЗОЛА

В.Н.Брицун, П.А.Карпов*, А.И.Емец*, М.О.Лозинский, Я.Б.Блюм*

Институт органической химии НАН Украины
02094, г. Киев-094, ул. Мурманская, 5. E-mail: ioch@ioch.kiev.ua
* Институт пищевой биотехнологии и геномики НАН Украины

Ключевые слова: имидазол; бензимидазол; антитуберкулезные и антимикобактериальные средства

В обзоре обобщены и систематизированы литературные данные по антитуберкулезному действию производных имидазола и бензимидазола.

ANTITUBERCULOUS PROPERTIES OF IMIDAZOLE AND BENZIMIDAZOLE DERIVATIVES

V.N.Britsun, P.A.Karпов, A.I.Yemets, M.O.Lozinsky, Ya.B.Bluм

The Literature data about antituberculous properties of imidazole and benzimidazole derivatives have been generalized and systematized in the review.

ПРОТИТУБЕРКУЛЬОЗНІ ВЛАСТИВОСТІ ПОХІДНИХ ІМІДАЗОЛУ ТА БЕНЗІМІДАЗОЛУ

В.Н.Брицун, П.А.Карпов, А.І.Ємець, М.О.Лозинський, Я.Б.Блюм

В огляді узагальнені та систематизовані літературні дані щодо антитуберкульозних властивостей похідних імідазолу та бензімідазолу.

Соединения, содержащие имидазольный (имидаэолиновый, имидазолидиновый) и бензимидазольный циклы, характеризуются широчайшим спектром биологической активности, и их значение в биохимических процессах, протекающих в живых организмах, трудно переоценить. Фрагменты имидазола и бензимидазола входят в структуру молекул алкалоидов (кофеин и пилокарпин), витамина В₁₂, коферментов (флавинадениннуклеотид), незаменимых аминокислот (гистидин), предшественников АТФ (рибоксин и фосфаден), транквилизаторов (мебикар), аналогов гормонов (мерказолил), антиметаболитов (6-меркаптотуридин). Среди лекарств есть десятки производных имидазола и бензимидазола: нафтозин и галазолин (адреномиметические вещества), мебендазол, албендазол и оксфендазол (противоглистные средства), клотримазол и микозолон (противогрибковые препараты), мазиндол (анорексигенное вещество), азатиоприн (иммунодепрессант), метронидазол и тинидазол (антипротозойные средства), этимизол (аналептик), фентоламин (α -адреноблокатор), дименгидринат и циметидин (антигистаминные препараты), дифазол и производные пурина (теобромин, темисал, теофиллин и др.) — спазмолитики, клофелин (антигипертензивное средство), аллопуринол (урикурический препарат) [1, 2].

Необходимо отметить, что физиологическое действие проявляют как замещенные имидазолы и бензимидазолы, так и (бенз)имидаэолсодержащие гетероциклические конденсированные системы (ароматические и частично/полностью гидрированные).

Столь широкое использование человеком и природой как натуральных, так и синтетических

производных имидазола и бензимидазола для управления биохимическими реакциями обусловлено тем, что эти гетероциклы легко образуются, устойчивы, высокоосновны и полярны. Вследствие этого они весьма склонны к образованию прочных водородных связей и несвязных взаимодействий. К тому же синтетические имидазол- и бензимидазолсодержащие молекулы по многим параметрам удовлетворяют требованиям правил Липинского [3], используемых для отбора потенциальных лекарствоподобных соединений. По этой причине производные имидазола и бензимидазола вызывают пристальный интерес у биохимиков, химиков, фармацевтов и биологов. Появляются новые и совершенствуются известные методы синтеза (бенз)имидаэолсодержащих соединений, продолжается поиск новых видов биологической активности и выясняются механизмы их действия.

Об этом свидетельствует несколько монографий, около трех десятков обзорных статей и сотни публикаций и патентов, появившиеся в печати за последние пять лет. Наибольшее число обзорных работ посвящено систематизации свойств и применению высокоэффективных антигельминтных бензимидазолсодержащих препаратов (мебендазола, албендазола, триклабендазола) [4-17], а также исследованию антивирусного действия производных имидазола и бензимидазола [18-21]. В работах [22-25] обобщены данные по использованию и клинической фармакологии “ингибиторов протонного насоса” (рабепразола, омепразола, эсомепразола) — концептуально новых лекарственных средств, блокирующих секрецию желудочно-го сока. В обзорных статьях рассмотрены также

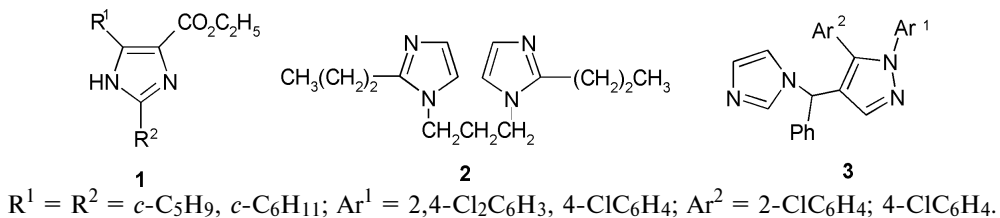


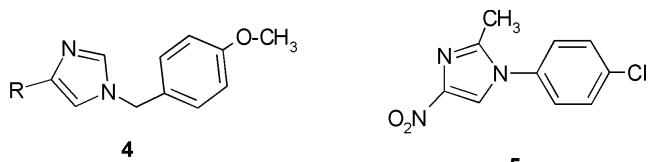
Схема 1

противораковое [26, 27] и антибактериальное действие замещенных имидазолов [28]. Внимание исследователей было также уделено комбинаторному синтезу “библиотек” биологически активных соединений [29], обнаружению производных (бенз)имидазола в биологических объектах [30] и методике их синтеза [31, 32].

Соединения, содержащие имидазольный и бензимидазольный фрагменты, проявляют также высокую антитуберкулезную активность. Однако в литературе отсутствуют обзорные статьи по данной тематике. Даже в работе [33], содержащей данные по фармакологической активности и токсикологическим свойствам производных бензимидазола, этому аспекту применения (бенз)имидазолов внимания не уделялось.

Из обзорных публикаций [34–41], в которых рассмотрены стратегия и цели современной антитуберкулезной терапии, следует, что для *Mycobacterium tuberculosis* характерны слабая проникаемость клеточных стенок для лекарственных средств и способность быстро адаптироваться к их действию. Вследствие этого препараты, ранее зарекомендовавшие себя эффективными антитуберкулезными средствами (изониазид, пиразинамид, стрептомицин, *n*-аминосалициловая кислота, фторхинолоны и др.), в настоящее время показывают посредственные результаты [42], что вынуждает использовать эти средства комплексно [38–41]. Сообщалось о синергизме между эпидемиями туберкулеза и СПИДа и увеличении заболеваемости лекарствоустойчивыми (резистентными) формами туберкулеза [43]. С учетом того, что за последние 30 лет не появилось ни одного нового противотуберкулезного препарата с новым механизмом действия [43], поиск высокоэффективных antimикобактериальных средств является актуальной задачей для современной фармацевтики и биохимии. В связи с этим отмечается значительный рост количества публикаций по данной тематике за последние 10 лет, тогда как за период 1980–2000 гг. внимания данному направлению уделялось гораздо меньше.

Настоящий обзор посвящен обобщению и систематизации информации по антитуберкулезному действию производных имидазола и бензимидазола, а также полиядерных гетероциклов, содержащих эти фрагменты. Так как механизм противотуберкулезного действия известен не для всех соединений, то наиболее удобной, на наш взгляд, является классификация этих структур по строе-



$R = Ph, 4\text{-CH}_3\text{OC}_6\text{H}_4\text{CH}_2, 4\text{-CH}_3\text{OC}_6\text{H}_4\text{-CH(OH)}, 4\text{-CH}_3\text{OC}_6\text{H}_4\text{-C(CH}_3\text{)(OH)}.$

Схема 2

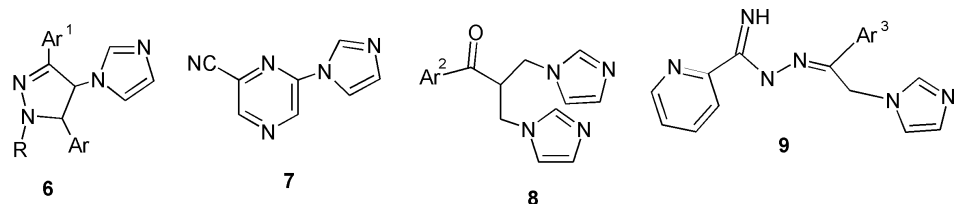
нию. Работы по синтезу и исследованию antimикобактериального действия замещенных имидазолов и бензимидазолов ведутся с 1980-х годов и продолжаются до сих пор ввиду относительной простоты получения данных соединений, возможности их дальнейшей функционализации и высокой противотуберкулезной эффективности.

1. Производные имидазола

Среди эфиров 1*H*-имидазол-4-карбоновых кислот к лекарство-восприимчивым и резистентным штаммам *M. tuberculosis* H37Rv наиболее действенными оказались соединения 1 (МИК 6,25 мкг/мл) [44]. Такое же значение МИК продемонстрировали бис-имидазолы 2, содержащие полиметиленовую цепочку [45]. Данные структуры могут быть оптимизированы с целью получения более энергичных antimикобактериальных средств.

Серия 1,5-диарил-4-[(1*H*-имидазол-1'-ил)(фенил)метил]-1*H*-пиразолов 3, подобных по структуре бифоназолу, была получена и протестирована на антибактериальное и antimикотическое действие на штаммах *M. tuberculosis* ATCC 27294 (wild type), ATCC 35820 (Str.R), ATCC 35822 (Ison.R), ATCC 35828 (Rut.R), ATCC 35837 (Eth.R) [46]. Некоторые дихлор- и трихлорсоединения проявили активность по отношению к *M. tuberculosis* выше, чем клотrimазол и эконазол, использовавшиеся как стандарты наряду с изониазидом иrifампицином (МИК, соответственно 6,1–47, 12,5–20,4 и 0,1–0,6 мкмоль/л). Отмечалось, что замена атомов хлора на атомы фтора в фенильном кольце снижает активность данной группы соединений. Предполагается, что пиразолы 3 — ингибиторы микобактериальной цитохром-Р450-оксигеназы (схема 1).

1-(4'-Метоксибензил)-3-*R*-имидазолы 4 показали в экспериментах *in vitro* МИК всего лишь 13–16 мкг/мл (амикаин 0,13 мкг/мл) [47], тогда как 2-метил-4-нитро-1-(4'-хлорфенил)имидазол 5 оказался гораздо активнее (МИК 0,39 мкг/мл) [48] (схема 2).



$\text{Ar}^1 = \text{Ph}, 4\text{-BrC}_6\text{H}_4, 4\text{-ClC}_6\text{H}_4, 4\text{-CH}_3\text{C}_6\text{H}_4, 2,4\text{-Cl}_2\text{C}_6\text{H}_3; R = \text{H}, \text{CH}_3, \text{Ph}, 4\text{-FC}_6\text{H}_4; \text{Ar}^2 = \text{Ph}, 2\text{-тиенил}, 2\text{-}(5'\text{-хлортиенил}), 2\text{-}(5'\text{-бромтиенил}), 2\text{-}(5'\text{-фтортиенил}), 2\text{-}(5'\text{-метилтиенил}), 2\text{-}(5'\text{-метокситиенил}), 2\text{-}(5'\text{-нитротиенил}), 2\text{-}(5'\text{-фенилтиенил}), 4\text{-ClC}_6\text{H}_4, 4\text{-BrC}_6\text{H}_4; \text{Ar}^3 = 2\text{-}(5'\text{-хлортиенил}), 2\text{-}(5'\text{-бромтиенил}), \text{Ph}, 4\text{-ClC}_6\text{H}_4, 4\text{-BrC}_6\text{H}_4, 4\text{-CH}_3\text{C}_6\text{H}_4, 4\text{-Ph-C}_6\text{H}_4.$

Схема 3

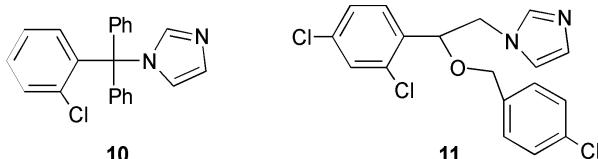


Схема 4

1-(3,5-Диарил-4,5-дигидро-1*H*-пиразол-4-ил)-1*H*-имидазолы **6** синтезированы и проверены *in vitro* на fungicidное и antimикобактериальное действие [49]. МИК для *M. tuberculosis* H₃₇Rv 4–16 мкг/мл (изониазид 0,5 мкг/мл).

2-(Имидазол-1'-ил)пиразины **7**, полученные из 2-циано-6-хлорпиразинов, обладают слабой анти-туберкулезной активностью против *M. tuberculosis* H₃₇Rv (МИК 31,2–62,5 мкг/мл) [50] (схема 3).

Производные 2-ароил-1,3-ди(1*H*-имидазол-1-ил)пропана **8** получены и проверены на fungicidное и antimикобактериальное действие (МИК для *M. tuberculosis* H₃₇Rv 8–16 мкг/мл) [51].

Объединенные компьютерный и экспериментальный подходы для поиска биологически активных соединений были проведены в работе [52]. Авторы полагают, что новые соединения могут связываться с активным сайтом цитохрома P450 стерол-14а-деметилазы микобактерий. Большинство соединений **9** показали умеренное действие (МИК 4–64 мкг/мл, для рифампицина 0,5–1,0 мкг/мл) против штаммов *M. tuberculosis* H₃₇Rv, H₁₉, H₂₁.

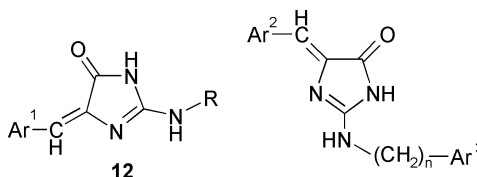
Показательным является цикл работ [53–58], в которых антитуберкулезное действие двух клинически проверенных fungicidных препаратов — клотrimазола **10** и эконазола **11** — испытывалось в условиях *in vitro* и *in vivo* экспериментов против *M. tuberculosis* H₃₇Rv [53] и мультирезистентных штаммов *M. tuberculosis* [54]. Установлено, что для этих соединений МИК составляет 0,11–0,12 мкг/мл

(степень ингибирования 86–92%), МБК 0,125–0,150 мкг/мл. К тому же они показали синергическое действие в смесях с изониазидом или с рифампицином: МИК смесей с изониазидом или рифампицином в 3–4 раза меньше, чем каждого из компонентов в отдельности [53]. Найдено [55], что эконазол уменьшает количество микобактерий на 90% в легких и селезенке мышей, инфицированных *M. tuberculosis*, что равноэквивалентно действию рифампицина. К тому же эконазол не обладает гепатотоксичностью, что подтверждено экспериментами как на здоровых, так и на зараженных мышах. Предполагается, что эконазол может заменить изониазид/рифампицин в химиотерапии туберкулеза.

Полученные данные достаточно четко демонстрируют antimикобактериальный потенциал клотrimазола и эконазола и свидетельствуют, что эти соединения могут усиливать эффективность применения современных антитуберкулезных лекарств (схема 4).

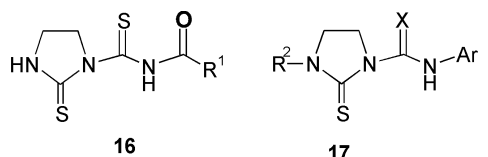
Синтез и оценка первичного antimикобактериального действия производных 5-арилиден-2-аминоимидазолин-4-она **12**, **13** и 5-арилиден-2-тиогидантиона **14** против *M. tuberculosis* H₃₇Rv и *M. avium* (ATCC 25291) осуществлена в работах [59–62]. Большинство соединений показало МИК 3,13–12,5 мкг/мл (рифампицин 0,125–0,5 мкг/мл [60], изониазид 0,025–0,05 мкг/мл [61]). Наиболее многообещающими оказались Z-5-(1,1'-дифенил-4-иметилен)-2-тиоксоимидазолидин-4-он **15** (МИК 0,78 мкг/мл, [61]) и 5-(3-хлоробензилиден)-2-(изоникотиноилгидразино)-имидазол-4-он **12** (МИК 0,8 мкг/мл, [60]). Но в опытах *in vivo* на зараженных мышах соединение **12** не проявило заметной активности (схема 5).

Серии 1-(N-арилкарбамоилтиоксо)имидазолидин-2-тионов **16** и N¹-R-N²-[арил(тио)карбамо-



$\text{Ar}^1 = 2\text{-ClC}_6\text{H}_4, 3\text{-ClC}_6\text{H}_4, 4\text{-ClC}_6\text{H}_4, 2,4\text{-Cl}_2\text{C}_6\text{H}_3; R = \text{PhCH}_2, \text{изоникотиноиламино}; \text{Ar}^2 = 2,6\text{-Cl}_2\text{C}_6\text{H}_3, 2\text{-ClC}_6\text{H}_4; \text{Ar}^3 = \text{Ph}, 2\text{-ClC}_6\text{H}_4, 3\text{-ClC}_6\text{H}_4, 4\text{-ClC}_6\text{H}_4, 4\text{-FC}_6\text{H}_4, 2,4\text{-Cl}_2\text{C}_6\text{H}_3, 4\text{-CH}_3\text{OC}_6\text{H}_4; R^1 = \text{H}, \text{CH}_3; R^2 = \text{Alk}, \text{Ar}, \text{Het}; n = 0–2$

Схема 5



$R^1 = \text{Ph}, 4\text{-CH}_3\text{C}_6\text{H}_4, 4\text{-ClC}_6\text{H}_4, 4\text{-CH}_3\text{OC}_6\text{H}_4, 3,4,5\text{-}(\text{CH}_3)_3\text{C}_6\text{H}_2; R^2 = \text{H}, \text{CH}_2\text{CH}_2\text{CN}; \text{Ar} = \text{Ph}, 3\text{-ClC}_6\text{H}_4, 4\text{-ClC}_6\text{H}_4, 3,4\text{-Cl}_2\text{C}_6\text{H}_3, 2\text{-нафтил}; X = \text{O}, \text{S}$

Схема 6

ил]имидазолидин-2-тионов **17** синтезированы для антитуберкулезного скрининга [63, 64]. Соединения характеризуются низкой или посредственной активностью (для *M. tuberculosis* H₃₇R_v МИК 8–31 мкг/мл) (схема 6).

В заключение главы отметим, что механизмы действия антибактериальных и antimикобактериальных препаратов, включая имидазолы, β -лактамы и хинолоны, описаны в работе [65].

2. 1- и 2-замещенные бензимидазолы

2-Замещенные бензимидазолы являются доступными соединениями и могут быть получены гетероциклизацией *o*-фенилендиаминов с соответствующими карбоновыми кислотами [66–76]. В работах [66–69] впервые было показано наличие antimикобактериальных свойств у 1- и 2-замещенных бензимидазолов. Для этой цели были синтезированы производные 2-цианометилбензимидазола **18–21**, из которых наиболее действенным оказалось соединение **19**, содержащее 5-нит-

рофурановое ядро (МИК 4 мкг/мл для штамма *M. tuberculosis* H₃₇R_v) [66, 67] (схема 7).

Свойства 2-(5'-R-фурил)бензимидазолов **22** были предметом исследования в работе [68]. Выяснилось, что эти соединения в испытаниях на штамме *M. aurum* показали действие, сравнимое с активностью стрептомицина и изониазида.

2-(Феноксиметил)бензимидазолы **23** и 2-(арилметил)бензимидазолы **24** были протестированы *in vitro* на антитуберкулезные свойства против *M. tuberculosis* H₃₇R_v [69]. Эксперименты показали, что 2-(феноксиметил)бензимидазолы **23** ингибируют рост микобактерий несколько активнее, чем соответствующие 2-(арилметил)бензимидазолы **24**, но в целом результативность действия соединений **23, 24** оказалась низкой (МИК 125 мкг/мл).

Изучение antimикобактериальных, фунгицидных и антибактериальных свойств 2-феноксиметилбензимидазолов **25** и 1-алкил-2-феноксиметилбензимидазолов **26** было продолжено в работе [70]. Данные бензимидазолы проявили высокую микобактериальную активность в опытах *in vitro* на штамме *M. tuberculosis* H₃₇R_v (МИК 1 мкг/мл). Очевидно, 2-феноксиметилбензимидазолы являются перспективными структурами для дальнейших исследований (схема 8).

Вследствие относительной легкости получения 2-замещенных бензимидазолов были синтезированы соединения, содержащих фрагмент 3-винил-4*H*-хромен-4-она **27**, 3-(1'-гидроксиэтил)-4*H*-хромен-4-она **28** [71], 2-карбамоилбензола **29** [72],

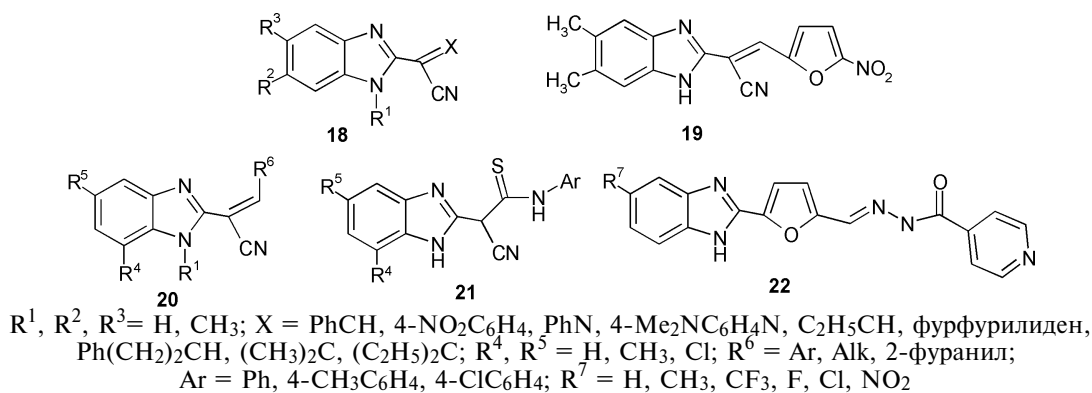
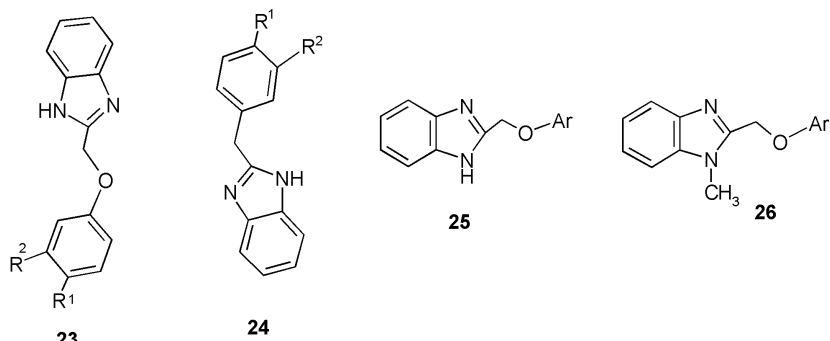
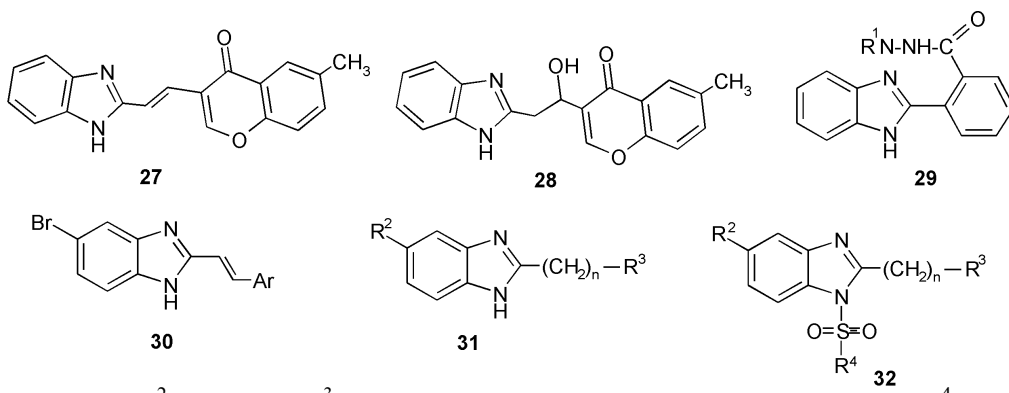


Схема 7



$R^1 = \text{Cl}, \text{CH}_3, \text{CH}_3\text{O}, \text{NO}_2; R^2 = \text{H}; R^1 = \text{H}, R^2 = \text{Cl}, \text{CH}_3, \text{CH}_3\text{O}, \text{NO}_2; \text{Ar} = \text{Ph}, 4\text{-NO}_2\text{C}_6\text{H}_4, 3\text{-NO}_2\text{C}_6\text{H}_4, 4\text{-CH}_3\text{C}_6\text{H}_4, 3\text{-CH}_3\text{C}_6\text{H}_4, 4\text{-ClC}_6\text{H}_4, 4\text{-BrC}_6\text{H}_4, 4\text{-Cl-3-CH}_3\text{-C}_6\text{H}_3$.

Схема 8



R^1 = Alk, Ar, Het; R^2 = H, CH₃; R^3 = H, Ph, PhCH₂, cyclo-C₆H₁₁, 3,4-(CH₃O)₂C₆H₄; R^4 = CH₃, Ph;
n = 1-3; Ar = Ph, 3,4-(CH₃O)₂C₆H₃, 4-CH₃C₆H₄, 2,4-Cl₂C₆H₃.

Схема 9

ω -стирола **30** [73], арилалканов **31** и их N-сульфонильных производных **32** [74] и оценено *in vitro* их антимикобактериальное действие против *M. tuberculosis* (H₃₇R_v) и *M. fortuitum*. По причине умеренной активности функционализация этих структур дальнейшего развития не получила (схема 9).

Недавно сообщалось о синтезе циклоконденсацией 1-адамантануксусной кислоты с ω -фенилендиаминами 2-(адамантилметил)бензимидазолов **33**, проявивших заметную антитуберкулезную активность (МИК 3,9 мкг/мл) [75] (схема 10).

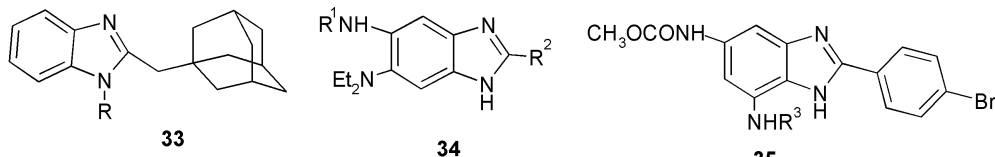
Более сложные производные 2-бензимидазола **34**, **35**, содержащие амидные и аминные группы в положениях 5, 6, 7, были запатентованы как компоненты фармацевтических составов для борьбы с *M. tuberculosis* и *Francisella tularensis* [76].

Проведено модифицирование структуры 2-(арилметил)бензимидазолов **24** введением S-атома между бензимидазольным и арилметильным фрагментами молекулы [77-80]. Действительно, 2-(арилметилю)бензимидазолы **36** показали значительное антитуберкулезное действие *in vitro* на штаммах *Mycobacterium* CNCTC My 331/88, *M. kansasii* CNCTC My 235/80, *M. kansasii* My 6509/96 и *M. avium* CNCTC My 330/88. Сделана попытка анализа связи структуры с активностью тестированных бензимидазолов [77]. Наиболее действенными являются бензимидазолы **36** с тиокарбамоиль-

ной или двумя нитрогруппами в фенильном кольце и 5,6-дихлор-2-перфторбутилбензимидазол **37**. Их действие (МИК 2-8 ммоль/л) для *M. kansasii* и *M. avium* сопоставимо с таковым для изониазида (МИК 0,5-4 ммоль/л). Стоит отметить, что нитро- и полинитроароматические соединения, как правило, цитотоксичны [81, 82], что ограничивает перспективы применения таких соединений в качестве антитуберкулезных лекарств (схема 11).

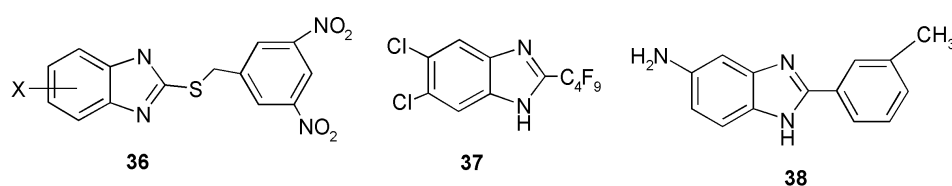
Структура 5-амино-2-(3'-метилфенил)бензимидазола **38** использовалась для компьютерного моделирования комплексообразования гетероциклических аминов с молекулами микобактериального энзима P450 [83]. Показано, что координирование осуществляется с участием энзимного атома железа и через образование водородной связи арил-аминогруппы с карбонильным кислородом Gly243. Отмечалось, что такой подход и полученные данные могут быть использованы для конструирования молекул новых антитуберкулезных средств.

Производные 2-аминобензимидазола **39** (VRT-125853) и **40** (VRT-752586) относятся к новому классу синтетических бактериальных ингибиторов, блокирующих функционирование ДНК-гиразы и топоизомеразы IV [84]. Эти соединения показали значительное антимикробное действие против широкого спектра проблемных патогенов (стафилококки, стрептококки, энтерокок-



R = H, CH₃CH(OH)CH₂; R^1 = H, PhCO, 4-CH₃OC₆H₄, 4-ClC₆H₄; R^2 = Ph, 4-FC₆H₄, 4-CH₃OC₆H₄, 2-CH₃OC₆H₄, 1-naftil; R^3 = H, CH₃CO.

Схема 10



X = 4-NH₂CS-C₆H₄, 3,5-(NO₂)₂C₆H₃, 2,4-(NO₂)₂C₆H₃, 5-Cl, 5-Br, 5-I, 5-CH₃, 4,6-Cl₂.

Схема 11

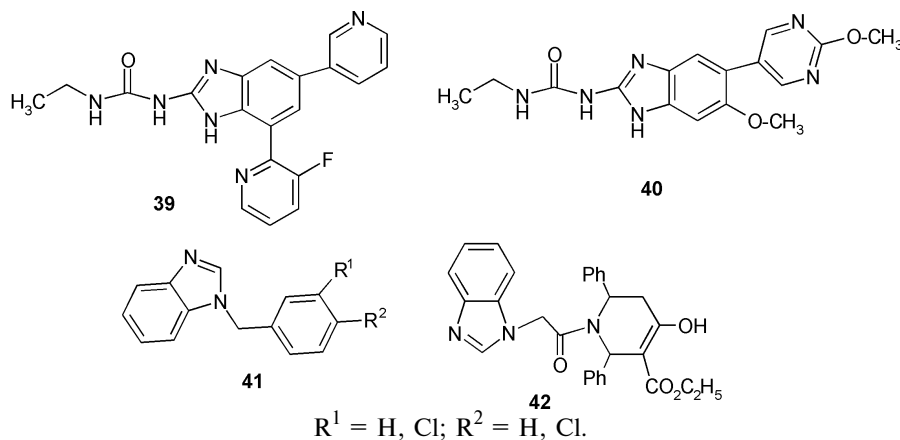


Схема 12

ки, микобактерии *M. tuberculosis* H37Rv и MSI 04-294, MSI 04-295, MSI 04-3543, MSI 04-7770). Для штамма *M. tuberculosis* H37Rv (ATCC 27294) МІК соединения **39** 2 мкг/мл, соединения **40** — 0,12 мкг/мл (схема 12).

1-Алкил(арил)бензимидазолы менее доступны, чем соответствующие 2-замещенные бензимидазолы [45, 85-87].

В исследовании [45] установлено, что 1-(арилметил)бензимидазолы **41** проявляют на порядок более высокую антитуберкулезную активность (МІК 12,5 мкг/мл), чем изомерные им 2-(арилметил)бензимидазолы **24** (МІК > 125 мкг/мл) [69].

Поиск эффективных средств против мультирезистентных патогенных микроорганизмов привело к синтезу производных 2,6-диарилпиримидин-4-онов и тетрагидропиридин-4-олов, в том числе содержащих бензимидазольный фрагмент [80]. Антибактериальное действие этих соединений оценивалось на нескольких штаммах бактерий как лекарствочувствительных, так и резистентных (*St. aureus*, *Ent. faecalis*, *Ent. faecium*, *M. tuberculosis*). Наиболее перспективным для дальнейшей оптимизации структуры является соединение **42** (для *M. tuberculosis* H37Rv МІК 16 мкг/мл, МІК рифамицина — 32 мкг/мл).

Фторсодержащие 2-арил-1-(1',2',3'-тразолил-4'-ил)метилбензимидазолы **43**, полученные в работе [86], проявили свойства ингибиторов роста микобактерий. Оценка SAR-замещения осуществлялась в серии соединений **43**: МІК для штамма *M. tuberculosis* H37Rv (ATCC 27294) <6,25 мкг/мл (МІК для рифамицина 16-32 мкг/мл). Экспери-

менты с использованием линии клеток Vero-C-1008 в различных концентрациях (6,25-50 мкг/мл) показали отсутствие токсичности для данных соединений.

Высокопропускной скрининг двухсот тысяч структур позволил выявить соединения **44**, обратимо ингибирующие работу фермента RmlC клеточной стенки микобактерии [87]. Одним из наиболее активных является производное бензимидазол-2-она **44** (SID 7975595, R¹ = C₂H₅, R² = H): МІК для *M. tuberculosis* H37Rv 19 мкг/мл, оценка ингибирования IC₅₀ 0,2 мкмоль. Компьютерное моделирование показало, что координирование гетероциклической двухядерной молекулы **44** по активному сайту фермента происходит, соответственно, на его тимидиновом и углеводном участках (схема 13).

3. Конденсированные полиядерные структуры, содержащие имидазольный или бензимидазольный циклы

3.1. Производные имидазо[4,5-*b*]пиридина

Синтез и изучение производных имидазо[4,5-*b*]пиридина в большинстве случаев осуществлялись в период 1980-1996 г.г. Имидазо[4,5-*b*]пиридины **45-47** с различными заместителями в положении 2 синтезированы и проверены *in vitro* на антитуберкулезное действие [88] (схема 14).

Производные 1-метил-1*H*-имидазо[4,5-*b*]пиридин-2-карбоновой кислоты **48** и 1-метил-1*H*-2-(цианометил)имидазо[4,5-*b*]пиридина **49** показали antimикобактериальную активность против *M. tuberculosis* H37Rv, 192, 210 [89, 90]. Наиболее дей-

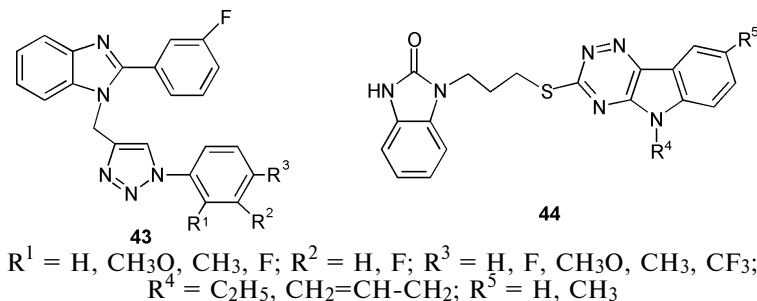


Схема 13

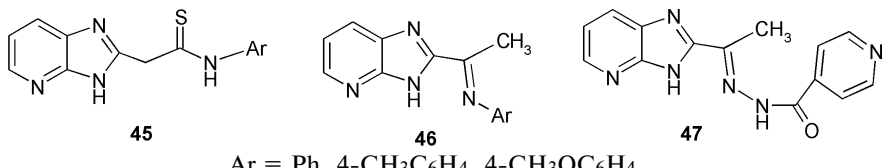
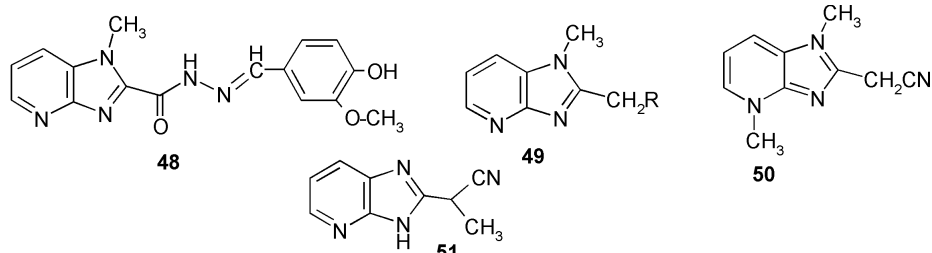


Схема 14



Exam 15

ственным оказался гидразоно-гидразид **48** (МИК 31,2 мкг/мл) (схема 15).

Основываясь на результатах анализа количественных отношений структура-активность (QSAR), ученые синтезировали имидазо[4,5-*b*]пиридины **50**, **51** и проверили их противотуберкулезное действие на *M. tuberculosis* [91]. Найдено удовлетворительное соотношение между теоретическими прогнозами и практическими данными.

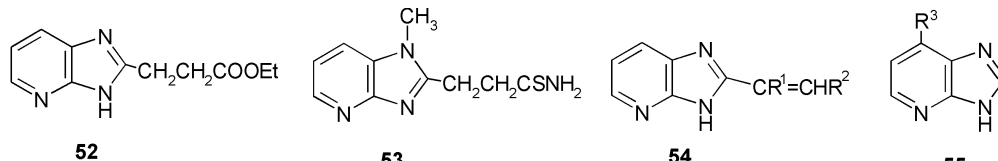
Реакцией соответствующих 2,3-диаминопиридинов с янтарным ангидридом получены 3-(2-имидазо[4,5-*b*]пиридин)пропионовые кислоты, функционализированные далее в эфиры, амиды, нитрилы, тиоамиды, амидоксимы и гидразиды **52**, **53** [92]. Подобным образом синтезированы и производные имидазо[4,5-*b*]пиридина **54** [93]. При проверке туберкулостатического действия только соединения **52** и **53** проявили умеренную активность.

Из имидазо[4,5-*b*]пиридин-7-карбоновой кислоты получены метиловый эфир, гидразид, гидразон, амид, нитрил, тиоамид и амидоксим **55** [94]. Последний наиболее действенен против *M. tuberculosis* (схема 16).

В целом имидазо[4,5-*b*]пиридины проявили более низкую противотуберкулезную активность, чем близкие по строениюベンзимидазолы. В настоящее время работы в данном направлении прекращены.

3.2. Производные 6-нитро-2,3-дигидроимидазо[2,1-*b*][1,3]оксазола и 2-нитро-6,7-дигидро-5*H*-имидазо[2,1-*b*][1,3]оксазина

Исследования химии и микробиального действия 6(2)-нитроимидазо[2,1-*b*][1,3]оксазолов



$R^1 = CN, CSNH_2; R^2 = CONHNH_2, CONH-N=CHPh, CSNH_2, C(NOH)NH_2, Ph, 3,4-(CH_3O)_2C_6H_3,$
 $3,4-CH_3O(OH)C_6H_3, 2\text{-фурил}; R^3 = COOCH_3, CONHNH_2, CONH-N=CHR, CONH_2,$
 $CN, CSNH_2, C(NH)NOH.$

Схема 16

(оксазинов) начались в 1989 г. и продолжаются до сих пор.

О замечательных антимикобактериальных свойствах 6-нитро-2,3-дигидроимидазо[2,1-*b*][1,3]оксазолов впервые сообщалось в работе [95]. Отмечалось [96], что наиболее эффективным в данном ряду является соединение **56** (CGI 17341), которое в *in vitro* экспериментах продемонстрировало активность против *M. tuberculosis* на уровне изониазида и рифампицина (МИК 0,1-0,3 мкг/мл) и выше стрептомицина, ципрофлоксацина или норфлоксацина. При действии *in vivo* имидазо[2,1-*b*][1,3]оксазол **56** также показал значительное действие, но вследствие обнаруженной мутагенности [96, 97] данное соединение утратило перспективу для применения (схема 17).

Тем не менее исследования *in vitro* и *in vivo* данной группы гетероциклов с целью поиска новых эффективных средств против восприимчивых и резистентных штаммов *M. tuberculosis* были продолжены в работах [98-101]. Наибольшую активность *in vitro* против лекарствовосприимчивых и лекарствоустойчивых штаммов *M. tuberculosis* H37Rv продемонстрировало соединение 57 OPC-67683 ($R^1=OCF_3$) (МИК 0,006 мкг/мл, МИК рифамицина 0,1-0,39 мкг/мл). Соединение 57 при оральном введении мышам, зараженным *M. tuberculosis Kurono*, показало эффективность, сравнимую с рифамицином. Соединения 58 несколько менее активны: для $R^1=CH_3$ МИК 0,012 мкг/мл.

Исследование антитуберкулезных свойств имидазо[2,1-*b*][1,3]оксазинов началось несколько позже, чем имидазо[2,1-*b*][1,3]оксазолов. В работе

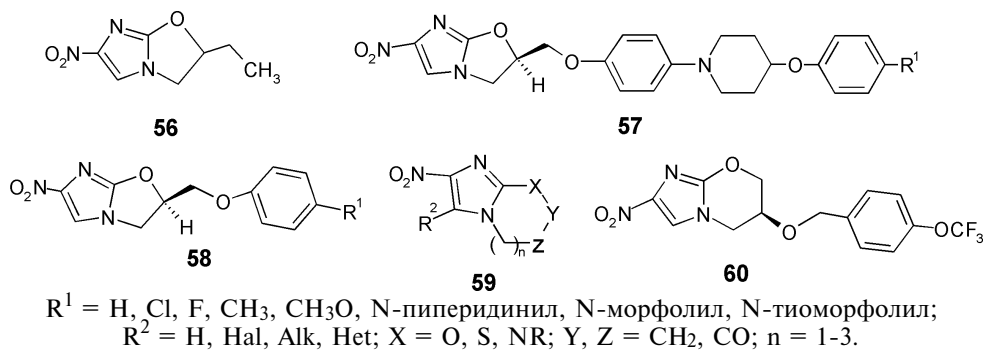


Схема 17

[102] соединения общей формулы **59** запатентованы как эффективные антибактериальные и анти-туберкулезные средства.

Синтез и свойства имидазо[2,1-*b*][1,3]оксазинов, а также механизмы их антимикробиального действия подробно рассмотрены в работах [43, 103, 104]. Выяснено, что наиболее перспективным антитуберкулезным средством является соединение **60** (PA-824), протестированное *in vitro* и *in vivo* против лекарствовосприимчивых и резистентных штаммов *M. tuberculosis* (CSU 19, C1, CSU 21, I5, CSU 25, CSU 31, CSU 34, CSU 36, CSU 40, CSU 45, H37Rv) [43, 103]. Оно показало высокую эффективность даже при субмикромолярных концентрациях (МИК 0,039-0,531 мкг/мл, для изонизазида МИК 0,03-0,06 мкг/мл) и многообещающее действие при оральном введении в экспериментах на животных. Стереохимия заместителя возле углерода С-3 соединения **60** весьма важна для активности, так как *S*-энантиомер примерно в 10 раз активнее *R*-энантиомера. Отмечалось, что PA-824 по Ames-тесту не является мутагеном или потенциальным канцерогеном [43]. В настоящее время соединение PA-824 проходит 2-ю фазу клинических испытаний [105].

В отличие от других антитуберкулезных препаратов, имидазо[2,1-*b*][1,3]оксазины показывают бактерицидную активность против делящейся и статической форм *M. tuberculosis* [103]. Предполагается [43], что они ингибируют синтез протеинов и липидов клеточных стенок микобактерий.

Близкий по структуре к нитроимидазо[2,1-*b*][1,3]оксазолам(оксазинам) метронидазол (1-(2'-оксиэтил)-2-метил-5-нитроимидазол) во время испытаний не проявил antimикобактериального действия [106, 107].

Таким образом, имидазо[2,1-*b*][1,3]оксазолы (оксазини) перспективны как новый класс ле-

карств, которому присущи высокие антитуберкулезные свойства.

3.3. Производные пурина

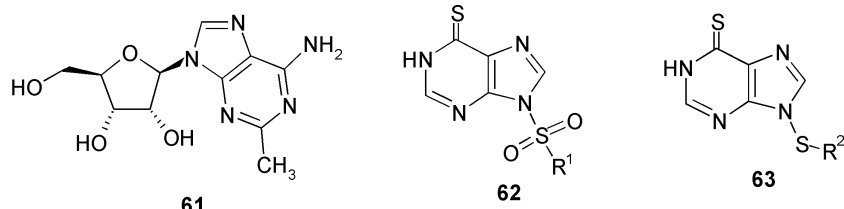
Антитуберкулезное действие производных пуринина были замечены еще в работе [108], но интенсивное изучение микобактериальных свойств данной группы соединений началось в 2000 г. Оно характеризуется значительным числом публикаций, новыми подходами к конструированию молекул и синтезом высокоеффективных противотуберкулезных средств.

Исследование [109] подтвердило активность 2-метиладенозина **61** в экспериментах *in vitro* против *M. tuberculosis* и продемонстрировало внутриклеточную эффективность внутри макрофагов. МИК и МБК 2-метил-аденозина определены, соответственно, как 3,1 и >100 мкг/мл для штамма *M. tuberculosis* H37Rv; для штамма *M. tuberculosis* H37Ra МИК и МБК, соответственно, 8 и >64 мкг/мл. Для этамбутола (позитивный контроль) МИК 2-4 мкг/мл. Также выяснено действие 2-метиладенозина **61** против штаммов *M. tuberculosis* Erdman ATCC 35801 (МИК < 1,56 мкг/мл), изониазид-резистентного ATCC 35822 (3,13 мкг/мл), рифампицин-устойчивого ATCC 35838 (< 1,56 мкг/мл), этамбутол-устойчивого ATCC 35837 (< 1,56 мкг/мл), канамицин-устойчивого ATCC 35827 (< 1,56 мкг/мл) и ципрофлоксацин-устойчивого (6,25 мкг/мл).

Предполагается, что ингибиторные эффекты 2-метиленозина связаны с синтезом белков и ДНК, но не с синтезом РНК [109] (схема 18).

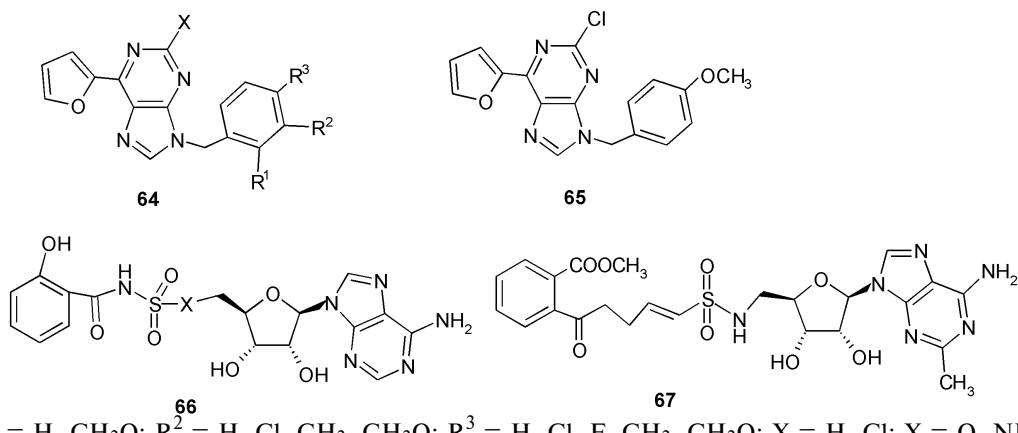
Недавние исследования подтвердили энергичное антимикробактериальное действие 2-метиладенозина **61** и позволили уточнить механизм его ингибиования [110].

Реакцией 6-тиоксопурина с сульфонилхлоридами и сульфенилхлоридами получена серия 9-сульфонил(сульфенил)-6-тиоксопуринов **62**, **63** [111].



$R^1 = Me_2N$, 4-CH₃C₆H₄, 4-FC₆H₄, 4-ClC₆H₄, 4-BrC₆H₄, 4-NO₂C₆H₄; $R^2 = 2\text{-NO}_2C_6H_4$, 4-NO₂C₆H₄.

Схема 18



$R^1 = H, CH_3O; R^2 = H, Cl, CH_3, CH_3O; R^3 = H, Cl, F, CH_3, CH_3O; X = H, Cl; X = O, NH.$

Схема 19

Ети соединения являются представителями нового класса перспективных противотуберкулезных средств, у которых МИК (для штаммов *M. tuberculosis* H37Rv и *M. avium*) находится на уровне 0,39-3,39 мкг/мл (рифампицин в тех же условиях 0,125 мкг/мл). Данные соединения эффективно ингибируют рост некоторых резистентных штаммов *M. tuberculosis*. Указанные структуры представляют интерес для получения более энергичных antimикобактериальных препаратов.

9-Арил-, 9-арилсульфонил- и 9-бензил-6-(2'-фурил)пурины синтезированы *N*-алкилированием или *N*-арилированием пуринов, за которым следовало введение фурильного заместителя по Стиллу в положение 6 [112-115]. 9-Арил- и 9-сульфонилпурины показали слабую активность, но 9-бензилпурины **64**, содержащие электронодонорные заместители в фенильном кольце, проявили высокое действие против *M. tuberculosis* H37Rv (МИК 0,39-6,25 мкг/мл, МИК рифамицина 0,25 мкг/мл).

Для данной группы соединений анализировалась связь структура-активность. Установлено, что наличие хлора в положении 2 пуринового ядра усиливает antimикобактериальные свойства. Наивысшая antimикобактериальная активность против *M. tuberculosis* и низкая токсичность для млекопитающих (IC₅₀ на клетках VERO > 10 мкг/мл) найдена для 2-хлор-6-(2'-фурил)-9-(4"-метокси-фенилметил)-9*H*-пурина **65** (схема 19).

В работах [116-118] сообщалось о конструировании, синтезе, биологической оценке и вероятном механизме действия пуринсодержащего антибиотика общей формулы **66**. Данные соединения существенно замедляют рост *M. tuberculosis* H37Rv и *Y. pestis*: для структуры **66** ($X = NH$) MIC₉₉ = 0,19 мкмоль/л, для **66** ($X = O$) MIC₉₉ = 0,29 мкмоль/л,

для изониазида — 0,18 мкмоль/мл. Установлено, что механизм действия сводится к разрушению сидерофора биосинтеза.

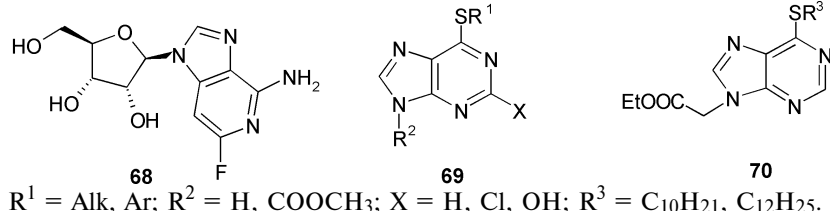
Биосинтез менахинона (MenE) — важное звено в цепи переноса электрона многих патогенов, включая *M. tuberculosis*. В исследовании [119] приведен синтез ингибитора MenE, ацил-СоА синтетазы, которая катализирует аденилирование и тиоэстерификацию *o*-сукцинилбензойной кислоты (OSB), препятствуя тем самым биосинтезу менахинона. Наибольшую активность продемонстрировало соединение **67**, ингибирующее образование MenE с показателем IC₅₀ 5,7 мкмоль/мл.

Оценка противотуберкулезного действия фторированных деазааденозинов (2-фтор-3-деазааденозина, 3-фтор-3-деазааденозина и 2,3-дифтор-3-деазааденозина) против *M. tuberculosis* H37Ra проведена в работе [120]. Для *M. tuberculosis* H37Ra МИК для 2-фтор-3-деазааденозина **68** и этамбутона одинаковы: 1-10 мкг/мл (схема 20).

Обнаружено, что 9-замещенные 6-алкил(арил)тиопурины **69** при концентрации 0,78-5,25 мкг/мл хорошо ингибируют рост *M. Tuberculosis* H37Rv [121]. Наиболее перспективны 9-(этилкарбоксиметил)-6-(декилтио)-9*H*-пурин и 9-(этилкарбоксиметил)-6-(додецилтио)-9*H*-пурин **70**, показавшие, соответственно, МИК 1,56 и 0,78 мкг/мл для *M. tuberculosis* H37Rv (ингибирование 100 и 98%), стандарт — этамбутол (2-4 мкг/мл). Они проявили также умеренную токсичность на клетках линии *Vero* (IC₅₀ > 10 и > 62,5 мкг/мл).

3.4. Інші конденсовані поліядерні структури, що містять імідазольний або бензімідазольний цикли

Сообщалось о первичных *in vitro* antimикобактериальных испытаниях различных конденсированных



$R^1 = Alk, Ar; R^2 = H, COOCH_3; X = H, Cl, OH; R^3 = C_{10}H_{21}, C_{12}H_{25}.$

Схема 20

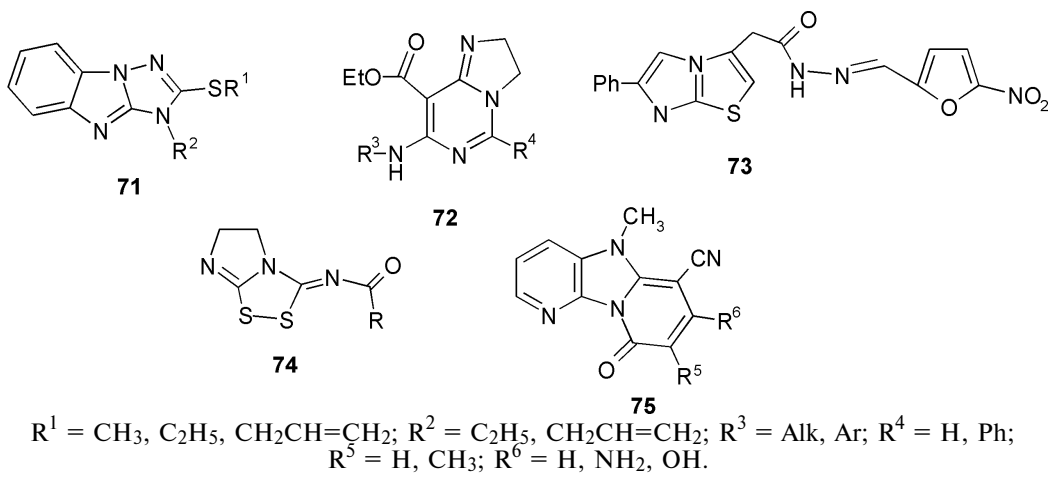


Схема 21

гетеросоединений — производных 1,2,4-триазоло[2,3-*a*]бензимидазола **71** [122], имидазо[1,2-*c*]пиримидина **72** [123], гидразидов 6-фенилимидаzo[2,1-*b*]тиазол-3-уксусной кислоты **73** [124], 3-ароилимино-5,6-дигидро-3*H*-имидаzo[2,1-*c*][1,2,4] дитиазолов **74** [63], дипиридо[1,2-*a*:3',2'-*d*]имидаzoла **75** [90]. Данные соединения проявили умеренную и слабую антитуберкулезную активность (для *M. tuberculosis* H₃₇Rv МИК в пределах 2–62 мкг/мл), поэтому дальнейшей функционализации не подвергались (схема 21).

Выводы

За прошедшие два десятилетия были синтезированы и проверены на противотуберкулезное действие тысячи производных имидазола и бензимидазола. Если в 1970–80 гг. поиск проводился бессистемно, то в 1990–2010 гг. благодаря выяснению определенных соотношений структура-активность, применению правил Липинского, компьютерного моделирования связывания лекарственных молекул с биологическим объектом-ми-

шенью был достигнут существенный прогресс, который можно оценить по значительному уменьшению МИК тестируемых сегодня соединений. Для наиболее активных структур она сопоставима или превышает МИК изониазида, рифампицина и других лекарственных средств. Высокую активность проявляют разные молекулы: замещенные имидазолы и бензимидазолы, производные пурина и нитроимидаzo[2,1-*b*][1,3]оксазолы(оксазины). Действие столь непохожих соединений объясняется различными механизмами блокирования жизнедеятельности *M. tuberculosis*. Следовательно, высокопродуктивный органический синтез и применение новых технологий для поиска и скрининга позволят в ближайшем будущем получить более эффективные противотуберкулезные средства, которые могут быть освоены производством. Но нельзя забывать о том, что туберкулез является социальной болезнью, и для результативной борьбы с ним должны предприниматься усилия не только в области химии и медицины.

Література

1. Машковский М.Д. Лекарственные средства. — Ч. 1. — М.: Медицина, 1998. — 624 с.
2. Машковский М.Д. Лекарственные средства. — Ч. 2. — М.: Медицина, 1998. — 574 с.
3. Lipinski C.A., Lombardo F., Dominy B.W., Feeney P.J. // Adv. Drug Delivery Rev. — 1997. — Vol. 23. — P. 3-25.
4. Song X.H., Ding L.W., Wen H. // Postgrad. Med. J. — 2007. — Vol. 83. — P. 536-542.
5. Stojkovic M., Zwahlen M., Teggi A. et al. // PLoS. Negl. Trop. Dis. — 2009. — Vol. 3 (9). — e524.
6. Canete R., Escobedo A.A., Almirall P. et al. // Trans R. Soc. Trop. Med. Hyg. — 2009. — Vol. 103 (5). — P. 437-442.
7. Finsterer J., Auer H. // Rev. Inst. Med. Trop. Sao. Paulo. — 2007. — Vol. 49(5). — P. 279-287.
8. Samson-Himmelstjerna G. // Vet. Parasitol. — 2006. — Vol. 136 (2). — P. 99-107.
9. Bethony J., Brooker S., Albonico M. et al. // Lancet. — 2006. — Vol. 367 (9521). — P. 1521-1532.
10. Nasseri M.S., Abrishami A., Malekzadeh R. // Cochrane Database Syst. Rev. — 2006. — Vol. 19 (2). — CD003623.
11. Rey P., Debonne J.M. // Med. Trop. (Mars). — 2006. — Vol. 66 (4). — P. 324-228.
12. Gillear J.S. // Int. J. Parasitol. — 2006. — Vol. 36 (12). — P. 1227-1239.
13. Shaw J.M., Bornman P.C., Krige J.E. // S. Afr. J. Surg. — 2006. — Vol. 44 (2). — P. 70-77.
14. Hotez P.J., Bethony J., Bottazzi M.E. et al. // Trends Parasitol. — 2006. — Vol. 22 (7). — P. 327-331.
15. Keiser J., Engels D., Boscher G., Utzinger J. // Expert. Opin. Investig. Drugs. — 2005. — Vol. 14 (12). — P. 1513-1526.
16. Gottstein B. // Ther. Umsch. — 2005. — Vol. 62 (10). — P. 685-22.
17. Meier A., Hertzberg H. // Schweiz. Arch. Tierheilkd. — 2005. — Vol. 147 (9). — P. 381-388.
18. Razonable R.R. // World. J. Gastroenterol. — 2008. — Vol. 14 (31). — P. 4849-4860.
19. Trofe J., Pote L., Wade E. et al. // Ann. Pharmacother. — 2008. — Vol. 42 (10). — P. 1447-1457.
20. De Clercq E., Naesens L. // J. Clin. Virol. — 2006. — Vol. 37. — Suppl. 1. — S. 82-86.

21. Beaulieu P.L. // *Curr. Opin. Drug. Discov. Devel.* — 2006. — Vol. 9 (5). — P. 618-626.
22. Shin J.M., Sachs G. // *Curr. Gastroenterol. Rep.* — 2008. — Vol. 10 (6). — P. 528-534.
23. Savarino V., Mario F., Scarpignato C. // *Pharmacol. Res.* — 2009. — Vol. 59 (3). — P. 135-153.
24. Sachs G., Shin J.M., Howden C.W. // *Aliment. Pharm. Ther.* — 2006. — Vol. 23, Suppl 2. — P. 2-8.
25. Sharara A.I. // *Expert. Rev. Anti Infect. Ther.* — 2005. — Vol. 3 (6). — P. 863-870.
26. Bhattacharya S., Chaudhuri P. // *Curr. Med. Chem.* — 2008. — Vol. 15 (18). — P. 1762-1777.
27. Wilson W.D., Nguyen B., Tanius F.A. et al. // *Curr. Med. Chem. Anticancer Agents.* — 2005. — Vol. 5 (4). — P. 389-408.
28. Evsukova V.Y., Andreyeva I.D., Kazmirschuk V.V., Mashlyanchuk O.A. // *Annals of Mechnikov Institute.* — 2010. — №1. — P. 5-9.
29. Kamal A., Reddy K.L., Devaiah V. et al. // *Mini Rev. Med. Chem.* — 2006. — Vol. 6 (1). — P. 71-89.
30. Danaher M., Ruyck H., Crooks S.R. et al. // *J. Chromatogr. B Analyt. Technol. Biomed. Life Sci* — 2007. — Vol. 845 (1). — P. 1-37.
31. Luca L.D. // *Curr. Med. Chem.* — 2006. — Vol. 13 (1). — P. 1-23.
32. Gribble G.W., Joule J.A. *Progress in the Heterocyclic Chemistry.* — Oxford: Elsivere Sci. Ltd, 2009. — P. 196.
33. Снаков А.А., Иежица И.Н., Бугаєва Л.И., Анисимова В.А. // Хим.- фарм. журн. — 1999. — №5. — С. 6-17.
34. Janin Y.L. // *Bioorg. Med. Chem.* — 2007. — Vol. 15. — P. 2479-2513.
35. Agrawal Y.K., Bhatt H.G., Raval H.G. et al. // *J. Sci. Ind. Res.* — 2007. — Vol. 66. — P. 191-208.
36. Ballell L., Field R.A., Duncan K., Young R.J. // *Antimicrob. Agents Chemother.* — 2005. — Vol. 49 (6). — P. 2153-2163.
37. Jain S.K., Lamichhane G., Nimmagadda S., Bishai W.R. // *Microbe.* — 2008. — Vol. 3 (6). — P. 285-292.
38. Onyebujoh P., Zumla A., Ribeiro I. et al. // *Bull. World. Health. Org.* — 2005. — Vol. 83. — P. 857-865.
39. Tripathi R.P., Tewari N., Tiwari V.K. // *Med. Res. Rew.* — 2005. — Vol. 25. — P. 131-206.
40. O'Brien R.J., Spigelman M. // *Clin. Chest. Med.* — 2005. — Vol. 26. — P. 327-340.
41. Speck-Planche A., Tulius Scotti M., Paulo-Emerenciano V. // *Cur. Pharm. Design.* — 2010. — Vol 16(24). — P. 2656-2665.
42. Somoskovi A., Parsons L.M., Salfinger M. // *Respiratory Res.* — 2001. — Vol. 2(3). — P. 164-168.
43. Stover C.K., Warrener P., VanDevanter D.R. et al. // *Nature.* — 2000. — Vol. 405. — P. 962-966.
44. Gupta P., Hameed Sh., Jain R. // *Eur. J. of Med. Chem.* — 2004. — Vol. 39 (9). — P. 805-814.
45. Pandey J., Tiwari V.K., Verma S.S. et al. // *Eur. J. Med. Chem.* — 2009. — Vol. 44 (8). — P. 3350-3355.
46. Menozzi G., Merello L., Fossa P. et al. // *Bioorg. Med. Chem.* — 2004. — Vol. 12. — P. 5465-5483.
47. Miranda P.O., Gundersen L.L. // *Arch. Pharm.* — 2010. — Vol. 343 (1). — P. 40-47.
48. Walczak K., Gondela A., Suwinski J. // *Eur. J. Med. Chem.* — 2004. — Vol. 39 (10). — P. 849-853.
49. Zampieri D., Mamolo M.G., Laurini E. et al. // *Bioorg. Med. Chem.* — 2008. — Vol. 16 (8). — P. 4516-4522.
50. Foks H., Janowiec M., Pilarski B. // *Pol. J. Pharmacol. Pharm.* — 1978. — Vol. 30 (1). — P. 105-111.
51. Zampieri D., Mamolo M.G., Vio L. et al. // *Bioorg. Med. Chem.* — 2007. — Vol. 15(23). — P. 7444-7458.
52. Banfi E., Scialino G., Zampieri D. et al. // *J. Antimicrob. Chemother.* — 2006. — Vol. 58 (1). — P. 76-84.
53. Ahmad Z., Sharma S., Khuller G.K. // *FEMS Microbiol. Lett.* — 2005. — Vol. 251 (1). — P. 19-22.
54. Ahmad Z., Sharma S., Khuller G.K. et al. // *Int. J. Antimicrob. Agents.* — 2006. — Vol. 28 (6). — P. 543-544.
55. Ahmad Z., Sharma S., Khuller G.K. // *FEMS Microbiol. Lett.* — 2006. — Vol. 261 (2). — P. 181-186.
56. Milano A., Pasca M.R., Provvedi R. et al. // *Tuberculosis (Edinb).* — 2009. — Vol. 89 (1). — P. 84-90.
57. Burguiere A., Hitchen P.G., Dover L.G. et al. // *Microbiol.* — 2005. — Vol. 151 (Pt. 6). — P. 2087-2095.
58. Jackson C.J., Lamb D.C., Kelly D.E., Kelly S.L. // *FEMS Microbiol. Lett.* — 2000. — Vol. 192 (2). — P. 159-162.
59. Szymanska E., Kiec-Kononowicz K., Bialecka A., Kasprowicz A. // *Farmaco.* — 2002. — Vol. 57 (1). — P. 39-44.
60. Szymanska E., Kiec-Kononowicz K. // *Farmaco.* — 2002. — Vol. 57 (5). — P. 355-362.
61. Kiec-Kononowicz K., Szymanska E. // *Farmaco.* — 2002. — Vol. 57 (11). — P. 909-916.
62. Zaidi S.M., Satsangi R.K., Nasir P.K. et al. // *Pharmazie.* — 1980. — Vol. 35 (12). — P. 755-756.
63. Saczewski F. // *Acta. Pol. Pharm.* — 1993. — Vol. 50 (4-5). — P. 341-344.
64. Sawlewicz J., Wisterowicz K., Janowiec M. // *Acta. Pol. Pharm.* — 1978. — Vol. 35 (4). — P. 403-411.
65. Piddock L.J. // *Curr. Opin. Microbiol.* — 1998. — Vol. 1 (5). — P. 502-508.
66. Sawlewicz J., Milczarska B., Manowska W. // *Pol. J. Pharmacol. Pharm.* — 1975. — Vol. 27 (2). — P. 187-201.
67. Milczarska B., Wrzesniowska K., Janowiec M. // *Pol. J. Pharmacol. Pharm.* — 1981. — Vol. 33 (2). — P. 217-221.
68. Bistocchi A.G., Meo G., Pedini M. et al. // *Farmaco. Sci.* — 1986. — Vol. 41 (12). — P. 970-983.
69. Gumus F., Altuntas T.G., Ozden T. // *J. Pharm. Belg.* — 1989. — Vol. 44 (6). — P. 398-402.
70. Reddy V.B., Bhat R.K.S., Shenoy G.G. // *Asian J. Res. Chem.* — 2009. — Vol. 2 (2). — P. 162-167.
71. Gasparova R., Lacova M., el-Shaaer H.M., Odlerova Z. // *Farmaco.* — 1997. — Vol. 52 (4). — P. 251-253.
72. Kaghara P., Shah R., Doshi R., Parekh H. // *Heterocyclic Comms.* — 1998. — Vol. 4(6). — P. 561-566.
73. Shingalapur R.V., Hosamani K.M., Keri R.S. // *Eur. J. Med. Chem.* — 2009. — Vol. 44 (10). — P. 4244-4248.
74. Foks H., Pancechowska-Ksepko D., Kuzmierkiewicz W. et al. // *XTC.* — 2006. — №5. — С. 697-700.
75. Kuzmierkiewicz W., Szczewski F., Foks H. et al. // *Arch. Pharm.* — 2006. — Vol. 319 (9). — P. 830-834.
76. Ojima I., Lee S. *Benzimidazoles and pharmaceutical compositions thereof.* — Pat. WO 2008130669 (30.10.2008).
77. Klimesova V., Koci J., Waisser K., Kaustova J. // *Farmaco.* — 2002. — Vol. 57 (4). — P. 259-265.
78. Waisser K. // *Folia. Pharm. Univ. Carol.* — 1995. — Vol. 19. — P. 79-82.
79. Kazimierczuk Z., Andrzejewska M., Kaustova J., Klimesova V. // *Eur. J. Med. Chem.* — 2005. — Vol. 40 (2). — P. 203-208.
80. Klimesova V., Koci J., Pour M. et al. // *Eur. J. Med. Chem.* — 2002. — Vol. 37 (5). — P. 409-418.

81. Huang Q., Wang L., Han S. // *Chemosphere*. — 1995. — Vol. 30. — P. 915-923.
82. Assmann N., Emmrich M., Kampf G. // *Mutat. Res.* — 1997. — Vol. 395. — P. 139-144.
83. Podust L.M., Ouellet H., Kries J., Montellano P.R. // *J. Biol. Chem.* — 2009. — Vol. 284. — P. 25211-25219.
84. Mani N., Gross C.H., Parsons J.D., Grossman T.H. // *Antimicr. Agents Chemother.* — 2006. — Vol. 50. — P. 1228-1237.
85. Aridoss G., Amirthaganesan S., Kumar N.A. et al. // *Bioorg. Med. Chem. Lett.* — 2008. — Vol. 18(24). — P. 6542-6548.
86. Gill C., Jadhav G., Shaikh M. et al. // *Bioorg. Med. Chem. Lett.* — 2008. — Vol. 18 (23). — P. 6244-6247.
87. Sivendran S., Jones V., Sun D. et al. // *Bioorg. Med. Chem.* — 2010. — Vol. 18. — P. 896-908.
88. Bukowski L., Janowiec M., Zwolska-Kwiek Z. // *Pharmazie*. — 1999. — Vol. 54 (9). — P. 651-654.
89. Bukowski L., Janowiec M. // *Pharmazie*. — 1996. — Vol. 51. — P. 27-30.
90. Bukowski L., Janowiec M. // *Pharmazie*. — 1990. — Vol. 45. — P. 904-907.
91. Bukowski L., Kaliszan R. // *Arch. Pharm.* — 1991. — Vol. 324 (9). — P. 537-42.
92. Bukowski L., Janowiec M. // *Pharmazie*. — 1989. — Vol. 44 (4). — P. 267-269.
93. Bukowski L. // *Pol. J. Pharmacol. Pharm.* — 1986. — Vol. 38 (1). — P. 91-98.
94. Bukowski L. // *Pol. J. Pharmacol. Pharm.* — 1980. — Vol. 32 (5). — P. 767-72.
95. Nagarajan K., Shankar R.G., Rajappa S. et al. // *Eur. J. Med. Chem.* — 1989. — Vol. 24. — P. 631-633.
96. Ashtekar D.R., Costa-Perira R., Nagarajan K. et al. // *Antimicrob. Agents Chemother.* — 1993. — Vol. 37 (2). — P. 183-186.
97. Walsh J.S., Wang R., Bagan E. et al. // *J. Med. Chem.* — 1987. — Vol. 30. — P. 150-156.
98. Baker W.R., Mitscher L.A., Arain M.A., Shaver R. // *Ann. Rep. Med. Chem.* — 1996. — Vol. 31. — P. 161-170.
99. Sasaki H., Haraguchi Y., Itotani M. et al. // *J. Med. Chem.* — 2006. — Vol. 49. — P. 7854-7860.
100. Okada M., Kobayashi K. // *Kekkaku*. — 2007. — Vol. 82 (10). — P. 783-799.
101. Saliu O.Y., Crismale C., Schwander S.K., Wallis R.S. // *J. Antimicrob. Chemother.* — 2007. — Vol. 60 (5). — P. 994-998.
102. Baker W.R., Shaopei C., Keeler E.L. *Nitro[2,1-b]imidazopyran compounds and antibacterial uses thereof / U.S. Pat. 6,087,358 (11.07.2000).*
103. Lenaerts A.J., Gruppo V., Marietta K.S. et al. // *Antimicrob. Agents Chemother.* — 2005. — Vol. 49 (6). — P. 2294-2301.
104. Barry C.E., Boshoff H.I., Dowd C.S. // *Curr. Pharm. Des.* — 2004. — Vol. 10 (26). — P. 3239-3262.
105. Dogra M., Palmer B.D., Bashiri G. et al. // *Br. J. Pharmacol.* — 2010. Oct 18. DOI: 10.1111/j.1476-5381.2010.01040.x.
106. Klinkenberg L.G., Sutherland L.A., Bishai W.R., Karakousis P.C. / *J. Infect. Dis.* — 2008. — Vol. 198 (2). — P. 275-283.
107. Kim S.Y., Shin S.J., Song C.H. et al. // *FEMS Microbiol. Lett.* — 2008. — Vol. 282 (2). — P. 282-289.
108. Suhadolnik R.J. *Nucleoside Antibiotics. John Wiley & Sons Inc., NY, USA, 1970.*
109. Barrow E.W., Westbrook L., Bansal N. et al. // *J. Antimicrob. Chemother.* — 2003. — Vol. 52 (5). — P. 801-808.
110. Long M.C., Parker W.B. // *Curr. Pharm. Des.* — 2007. — Vol. 13 (6). — P. 599-608.
111. Scozzafava A., Mastrolenzo A. // *Bioorg. Med. Chem. Lett.* — 2001. — Vol. 11 (13). — P. 1675-1678.
112. Bakkestuen A.K., Gundersen L.L., Langli G. et al. // *Bioorg. Med. Chem. Lett.* — 2000. — Vol. 10. — P. 1207-1210.
113. Gundersen L.L., Nissen-Meyer J., Spilsberg B. // *J. Med. Chem.* — 2002. — Vol. 45. — P. 1383-1386.
114. Bakkestuen A.K., Gundersen L.L., Utenova B.T. // *J. Med. Chem.* — 2005. — Vol. 48. — P. 2710-2723.
115. Braendvang M., Gundersen L.L. // *Bioorg. Med. Chem.* — 2005. — Vol. 13. — P. 6360-6373.
116. Ferreras J.A., Ryu J.S., Di Lello F. et al. // *Nat. Chem. Biol.* — 2005. — Vol. 1. — P. 29-32.
117. Somu R.V., Boshoff H., Qiao C. et al. // *J. Med. Chem.* — 2006. — Vol. 49. — P. 31-34.
118. Stirrett K.L., Ferreras J.A., Jayaprakashb V. // *Bioorg. Med. Chem. Lett.* — 2008. — Vol. 18 (8). — P. 2662-2668.
119. Lu X., Zhangb H., Tongeb P.J., Tan D.S. // *Bioorg. Med. Chem. Lett.* — 2008. — Vol. 18 (22). — P. 5963-5966.
120. Long M.C., Allan P.W., Luo M.Z. et al. // *J. Antimicrob. Chemother.* — 2007. — Vol. 59. — P. 118-121.
121. Pathak A.K., Pathak V., Seitz L.E. et al. // *J. Med. Chem.* — 2004. — Vol. 47. — P. 273-276.
122. Bahaa G.M., Mostafa A.H., Abdel-Alim A.A., Mohammed H. // *Arch. Pharm. Res.* — 2006. — Vol. 29 (1). — P. 26-33.
123. Chhabria M.T., Jani M.H. // *Eur. J. Med. Chem.* — 2009. — Vol. 44 (10). — P. 3837-3844.
124. Ulusoy N., Capan G., Otuk G., Kiraz M. // *Bull. Chim. Farm.* — 2000. — Vol. 139 (4). — P. 167-172.

Надійшла до редакції 20.01.2010 р.